

طراحی شبکه‌ی تأمین حلقه‌بسته با ریسک اشتراکی تحت شرایط عدم قطعیت

هریم صانعی (کارشناس ارشد)

دانشگاه آزاد اسلامی، واحد علوم و تحقیقات، گروه مهندسی صنایع، تهران

رضا توکلی‌مقدم* (استاد)

دانشکده‌ی مهندسی صنایع، پردیس دانشکده‌های فنی، دانشگاه تهران

در سال‌های اخیر طراحی شبکه‌های زنجیره‌ی تأمین حلقه‌بسته مطابق فاکتورهای تجارت و محیطی مورد توجه قرار گرفته است. مدل پیشنهادی شبکه‌ی زنجیره‌ی تأمین را به جلو و معکوس به صورت یکپارچه در نظر می‌گیرد، همچنین برای جلوگیری از زیر بهینگی‌های ناشی از در نظر گرفتن زنجیره‌ی رو به جلو و معکوس به صورت جدا از هم، تصمیمات راهبردی همزمان با تصمیمات تاکتیکی شبکه‌ی طراحی می‌شود. تقاضای مشتریان غیرقطعی و با توزیع نرمال در نظر گرفته می‌شود. برای مواجهه با عدم قطعیت موجود در تقاضای مشتریان از راهکار ریسک اشتراکی استفاده می‌شود و سپس، عدم قطعیت در سایر پارامترهای مدل نیز مورد توجه قرار می‌گیرد. برای حل مدل بهینه‌سازی احتمالی و استفاده از مزیت‌های مدل قطعی از روش فازی زدایی خیمیز استفاده می‌شود. مدل طراحی شده که یک مدل برنامه‌ریزی عدد صحیح غیرخطی است، با استفاده از برنامه‌ی GAMS حل می‌شود.

واژگان کلیدی: طراحی زنجیره‌ی تأمین حلقه‌بسته، ریسک اشتراکی، برنامه‌ریزی ریاضی فازی.

maryam.saneil@gmail.com
tavakoli@ut.ac.ir

۱. مقدمه

- جمع‌آوری^۱:
- گزینش و انتخاب^۲:
- مصرف مشتری است اطلاق می‌شود.^۳ زنجیره‌ی تأمین تمامی بخش‌های را در بر می‌گیرد که مستقیم یا غیر مستقیم برای تأمین خواسته‌های مشتریان با هم در ارتباط‌اند. در سراسر دنیا مدیریت زنجیره‌ی تأمین یکی از مسائل اساسی پیش روی بنگاه‌های اقتصادی بزرگ است به طوری که تمامی فعالیت‌های سازمان را
- مرتباً سازی و طبقه‌بندی^۴:
- توزیع به محل مناسب^۵.

در دهه‌های اخیر بسیاری از شرکت‌ها بر فعالیت‌های بازیافت و احیاء تمرکز کرده‌اند و موفقیت‌های قابل توجهی در این زمینه به دست آورده‌اند. در طراحی مدل‌های زنجیره‌ی تأمین معکوس، از مدل‌های معمول «برنامه‌ریزی اعداد صحیح مختلف (MIP)^۵» استفاده می‌شود. این مدل‌ها از مدل‌های مکان‌یابی تسهیلات بدون ظرفیت ساده، به مدل‌های چند مرحله‌ای یا چند محصولی پیچیده مرتب می‌شوند و هدف آنها تعیین کمترین هزینه‌ی طراحی سیستم است که به طور معمول شامل تعامل بین هزینه‌های ثابت باز کردن تسهیلات و هزینه‌های حمل و نقل است.^[۱] در نظر گرفتن شبکه رو به جلو همراه با لجستیک معکوس می‌تواند موجب پرهیز از زیربهینگی و درنتیجه صرفه‌جویی اقتصادی شود. زنجیره‌های تأمین حلقه‌بسته مسائلی هستند که در آنها شبکه‌های رو به جلو و معکوس یکپارچه شده‌اند. طراحی شبکه‌های حلقه‌بسته به دلیل در نظر گرفتن همزمان پیکربندی معکوس زنجیره‌ی تأمین رو به جلو و سیستم جریان بازگشتی مواد، مشکل‌تر از طراحی شبکه‌های رو به جلو و معکوس به صورت جداگانه است. در بیشتر کارهای گذشته طراحی شبکه تنها برای

براساس تعریف، زنجیره‌ی تأمین به تمامی فعالیت‌های مرتبط با جریان و مبادله کالاها و خدمات، از مرحله‌ی ماده‌ی خام اولیه تا مرحله‌ی محصول نهایی، که قابل مصرف مشتری است اطلاق می‌شود.^[۱] زنجیره‌ی تأمین تمامی بخش‌های را در بر می‌گیرد که مستقیم یا غیر مستقیم برای تأمین خواسته‌های مشتریان با هم در ارتباط‌اند. در سراسر دنیا مدیریت زنجیره‌ی تأمین یکی از مسائل اساسی پیش روی بنگاه‌های اقتصادی بزرگ است به طوری که تمامی فعالیت‌های سازمان را به منظور تولید محصولات، بهبود کیفیت، کاهش هزینه و ارائه خدمات مورد نیاز مشتریان تحت تأثیر قرار می‌دهد. از سوی دیگر الزامات قانونی، بهخصوص شرایط زیستمحیطی و نیز شرایط رقابت جهانی سازمان‌ها را ملزم به جمع‌آوری محصولات برگشتی خود کرده تا به احیاء، بازیافت یا انهدام این محصولات اقدام کنند. در همین راستا لجستیک معکوس در زنجیره‌ی های تأمین مورد توجه قرار گرفت. محققین لجستیک معکوس را «فرایند برنامه‌ریزی، اجرا و کنترل مؤثروکارای جریان مواد اولیه، موجودی در جریان، محصولات نهایی و اطلاعات مرتبط با آن، از سوی مصرف کنندگان تا مبدأ اصلی آن با هدف کسب مجدد ارزش اقلام یا انهدام مناسب آنها» معرفی کردند.^[۱] آنها چهار گام مشترک برای تمامی سیستم‌های لجستیک معکوس بر شمردند:

* نویسنده مسئول

تاریخ: دریافت ۹، ۱۳۹۲، ۶، اصلاحیه ۳۱، پذیرش ۲۰، ۱۱، ۱۳۹۲.

و محدودیت‌های بودجه‌ی کل را کمینه می‌کند. همچنین دو رویکرد برنامه‌ریزی فازی مختلف برای حل مسئله‌ی زنجیره‌ی تأمین در صنعت اتمیمیل مطرح شده است [۱۲].

محققین دیگری در ادامه، مسئله‌ای واقعی تولید و حمل و نقل را در رابطه با تولیدکنندگان از طریق برنامه‌ریزی ریاضی قطعی مد نظر قراردادند که هزینه‌ها را با توجه به ظرفیت و تقاضا کمینه می‌کند.^[۱۲] سپس آنان یک مدل برنامه‌ریزی ریاضی فازی را ایجاد کردند و سرانجام یک طرح کلی برای تخصیص هزینه و سود برمبنای نظریه‌ی فازی ارائه کردند.^[۱۳] برای دست‌یابی به عملکرد ارسال قبول با متهم شدن کمترین هزینه و با توجه به عدم قطعیت‌های تقاضای مشتری، ارسال‌های زنجیره‌ی تأمین و عرضه، یک مدل ابتکاری برمبنای نظریه‌ی فازی برای تعیین مقدار سفارش برای هر موجودی تسویه داده شد. همچنین یک مدل برنامه‌ریزی ریاضی دوهدفی فازی برای زنجیره‌ی تأمین حلقة‌بسته ارائه شد^[۱۴] که بر کمینه سازی هزینه‌ی کل و کمینه سازی تأخیر زمان تحویل متمرکز بود و حل آن با استفاده از دو رویکرد ابتکاری صورت می‌گرفت.

۲. تعریف مسئله

در این نوشتار مدل سازی یک زنجیره‌ی تأمین حلقه‌بسته تحت شرایط عدم قطعیت، و با در نظر گرفتن استراتژی ریسک اشتراکی بررسی می‌شود. این زنجیره‌ی در قسمت رو به جلو شامل سه سطح عرضه‌کننده، مراکز توزیع و مشتریان است؛ در زنجیره‌ی معکوس نیز مراکز جمع‌آوری، مراکز احیاء، مراکز بازیافت و مشتریان مواد را شامل می‌شود. محصولات از کارخانه‌ها به مراکز توزیع منتقل و از مراکز توزیع به مشتریان تحويل می‌شود. سپس محصولات از مشتریان جمع‌آوری شده و پس از بررسی با توجه به کیفیت، تعدادی از آنها به مراکز احیاء منتقل می‌شود و پس از تغییرات لازم مجدداً به سیستم توزیع بازمی‌گردد. تعداد دیگری از محصولات به مراکز بازیافت منتقل می‌شود و پس از جداسازی بین مشتریان مواد اولیه توزیع خواهد شد. هر کارخانه با ظرفیت محدود، از مراکز توزیع برای تحقق تقاضای مشتریان استفاده می‌کند. مسئله‌ی مورد بررسی تک محصولی است و تخصیص مراکز توزیع به عرضه‌کننده‌ها و نیز تخصیص مشتریان به مراکز توزیع به صورت تکی است. تقاضای مشتریان غیرقطعی و دارای توزیع نرمال با میانگین¹¹ و واریانس¹² است و میانگین تقاضای مشتریان برآورد می‌شود. از ذخیره‌ی احتیاطی برای پاسخ‌گویی به تغییر پذیری تقاضاهای مشتریان بهمنظور دست یابی به منافع ریسک اشتراکی در مراکز توزیع استفاده می‌شود. هدف این مدل، تعیین تعداد مراکز توزیع افتتاح شده و مکان آنها، تعیین تعداد مراکز جمع‌آوری، تعیین تعداد مراکز بازیافت و احیاء، و نیز تضمیمات کنترل موجودی راجع به میزان سفارش بهینه، سطح سفارش بهینه و مقدار ذخیره‌ی احتیاطی، میزان محصولات بازیافتی و نهایتاً تعیین کمترین هزینه‌ی کل در شرایط عدم قطعیت تقاضا و با در نظر گرفتن ریسک اشتراکی است. در مرحله‌ی بعد، علاوه بر عدم قطعیت موجود در تقاضا، عدم قطعیت در هزینه‌های بازگشت و حمل و نقل بین تسهیلات و همچنین تقاضای مشتریان مواد مدنظر قرار می‌گیرد و از رویکرد برنامهریزی فازی برای مواجهه با عدم قطعیت‌ها و ریسک‌های ناشی از آنها استفاده می‌شود. در مدل ارائه شده چهار فرضیه وجود دارد:

۱. هر مرکز توزیع از سیاست (q, r) استفاده می‌کند.
 ۲. در مسیر رو به جلو، محصولات براساس سازوکار کششی به مشتریان تحویل می‌رسود.

لجزیتیک مستقیم و لجزیتیک معکوس صورت گرفته است و در تعداد اندکی از مطالعات به طراحی شبکه‌ی یکپارچه‌ی مستقیم و معکوس پرداخته شده است.

یکی از راه‌های مؤثر در کاهش سطح ذخیره‌ی احتیاطی و درنتیجه کاهش موجودی در جریان هم زمان با افزایش خدمت رسانی، ریسک اشتراکی است. ریسک اشتراکی از مفاهیم مهم زنجیره‌ی تأمین است و استفاده از آن برای تأمین تقاضاهایی با عدم قطعیت بالا بسیار مؤثر است. کاربرد استراتژی «ریسک اشتراکی» هنگامی مناسب است که هزینه‌های موجودی و انبارداری درصد بزرگی از هزینه‌های زنجیره‌ی تأمین را در بر می‌گیرد.

با پیشنهاد مسئله‌ای ادغام موجودی و ریسک اشتراکی، به عنوان راهی برای تعادل بحرانی در کاهش هزینه‌ها و افزایش پاسخگویی،^[۴] یک مدل بهینه‌سازی دومعیاره برای بیان مسئله‌ای ادغام موجودی تحت استراتژی ریسک اشتراکی ایجاد شد. برای حل این مدل نیز یک الگوریتم دو مرحله‌یی ارائه شد که بهترین سیستم شبکه‌یی توزع ممکن، متناسب با اهداف سازمان را تعیین می‌کرد. محققین یک مدل مکانیابی ارائه کردند.^[۵] که تقدیم‌آهای آلانین را به اینارهای منطقه‌یی ظرفیت دارد زنجیره‌یی تأمین چندرده‌یی تخصیص می‌دهد. مدل بسط داده شده تعامل بین اثر ریسک اشتراکی و هزینه‌های حمل و نقل در سیستم موجودی/لوجستیک دو رده‌یی را مورد توجه قرار می‌داد. آنها مدل شان را به صورت یک مدل برنامه‌ریزی عدد صحیح غیرخطی فرمول بندی، و یک الگوریتم آزادسازی لاگرانژ برای حل آن ارائه کردند.

محققین مدل MINLP را — که تعیین کننده‌ی ساختار شبکه‌ی بهینه، حمل و نقل و سطح موجودی زنجیره‌ی تأمین چندرده‌یی، با در نظر گرفتن تقاضای غیرقطعی و مشتریان است — ارائه کردند.^[۶] در این مدل اثر ریسک اشتراکی بر روی محاسبات با ترکیب تقاضاهای در گره‌های پایین دستی به گره‌های بالا دستی حاصل می‌شود.

توزیع چند رده‌هی در نظر گرفته و یک بینش مدیریتی بر پایه‌ی اثر ریسک اشتراکی بر تقاضاهای غیرقطعی به‌واسطه‌ی محصول پیمانه‌ی ایجاد کردند.^[۲] آنان نشان داده‌اند که سطح موجودی بهینه برای دو محصول در جایگزینی کامل، وقتی که درآمد با موجودی اشتراکی افزایش یابد، ممکن است افزایش یا کاهش داشته باشد.^[۳]

بسیاری از تصمیم‌گیری‌های جهان واقعی در محیطی رخ می‌دهد که اهداف، محدودیت‌ها یا پارامترها به طور دقیق مشخص نیستند، و این منجر به افزایش علاقه‌مندی به استفاده از برنامه‌ریزی فازی و احتمالی می‌شود. بعضی از محققین مدل‌های احتمالی زنجیره‌ی تأمین را که به شرایط واقعی نزدیک‌ترند، پیشنهاد داده‌اند.

بیشتر تحقیقات عدم قطعیت در زنجیره‌ی تأمین با استفاده از توابع توزیعی مدل شده‌اند که معمولاً از داده‌های تجربی به دست می‌آیند. مدل‌های احتمالی برای زمانی که داده‌ها غیرواقعی اند یا در دسترس نیستند، بهترین گزینه نیستند.^[۴] نظریه‌ی مجموعه‌ی فازی گزینه‌ی مناسب برای مقایله با عدم قطعیت است.

درخصوص برنامه ریزی یکپارچه، به طور همزمان مسئله‌ی چندمحله‌ی چنددوره‌یی و چندسطوحی با پارامترهای فازی مدنظر قرار گرفت^[۱۰] و روش حلی ارائه شد که قادر به محاسبه‌ی مقدار هدف فازی مدل زنجیره‌ی تأمین است. مطالعه‌ی جدیدترین نمونه‌های برنامه ریزی فازی در مدل سازی برنامه ریزی یکپارچه‌ی اصلی در مسئله زنجیره‌ی تأمین^[۱۱] موجب شناخت یک مدل MILP چندهدفه شد که برنامه ریزی اصلی زنجیره‌ی تأمین را ممکن می‌سازد. در ادامه، یک مدل برنامه ریزی خطی چندهدفه‌ی فازی ارائه شد^[۱۲] که همزمان مجموع هزینه‌ها و مجموع زمان‌های ارسال را با توجه به سطح موجودی، ظرفیت ماشین و نیروی کار موجود در هر، منع نهادن اضافه‌ی تقاضای حاری و فضای موجود در دسترس، در هر مقصد

\tilde{h}_{hk} : هزینه‌ی نگهداری موجودی هر واحد در مرکز توزیع j در بازه زمانی i ؛
 μ_k : میانگین تقاضای روزانه‌ی مشتری در مشتری k ؛
 ν_k : واریانس تقاضای روزانه‌ی مشتری در مشتری k ؛
 z_i : زمان انتظار سفارش از عرضه‌کننده i به مرکز توزیع j .

۳. در مسیر معکوس، محصولات براساس سازوکار فشاری به مراکز تحویل می‌شود.
همچنین در مراکز بازیافت محصولات با سازوکار کنترلی به مشتریان مواد تحویل می‌شوند.

۴. تمامی محصولات برگشتی از مشتریان باید جمع‌آوری شود.

۳. متغیرهای تصمیم

۱.۳.۳. متغیرهای پیوسته

t_{ijt} : مقداری از محصولات که از کارخانه i به مرکز توزیع j در زمان t حمل می‌شود؛

u_{kt} : مقداری از محصولات که از مرکز توزیع j به مشتری k در زمان t حمل می‌شود؛

q_{klt} : مقداری از محصولات برگشتی از مشتری k به مرکز جمع‌آوری l در دوره‌ی t ؛

p_{lmt} : مقداری از محصولات قابل بازیافت که از مرکز جمع‌آوری l به مرکز احیاء m

در دوره t حمل می‌شود؛

s_{lnt} : مقداری از محصولات اوراقی که از مرکز جمع‌آوری l به مرکز بازیافت n در دوره t منتقل می‌شود؛

h_{mjt} : مقداری از محصولات قابل احیاء که از مرکز احیاء m به مرکز توزیع j در دوره t حمل می‌شود؛

v_{net} : مقداری از محصولات قابل بازیافت از مرکز بازیافت n به مشتریان مواد e در دوره t حمل می‌شود.

۲.۳.۳. متغیرهای باینری

z_i : اگر عرضه‌کننده i باز باشد معادل ۱، و در غیر این صورت معادل صفر؛

x_j : اگر مرکز توزیع j باز باشد معادل ۱، و در غیر این صورت معادل صفر؛

y_l : اگر مرکز جمع‌آوری l باز باشد معادل ۱، و در غیر این صورت معادل صفر؛

f_m : اگر مرکز احیاء m باز باشد معادل ۱، و در غیر این صورت معادل صفر؛

w_n : اگر مرکز بازیافت n باز باشد معادل ۱، و در غیر این صورت معادل صفر؛

α_{jk} : اگر خردفروش k به مرکز توزیع j اختصاص یافته باشد معادل ۱، و در غیر این صورت معادل صفر؛

β_{ij} : اگر مرکز توزیع j به عرضه‌کننده i تخصیص یافته باشد معادل ۱، و در غیر این صورت معادل صفر؛

γ_{mj} : اگر مرکز احیاء m به مرکز توزیع j اختصاص یافتد معادل ۱، و در غیر این صورت معادل صفر.

۴. مدل ریاضی پیشنهادی

تابع هدف این مدل شامل موارد زیر است:

۱. مجموع هزینه‌های احداث کارخانه‌ها، مراکز توزیع، مراکز جمع‌آوری، مراکز احیاء و مراکز بازیافت با یک سطح ظرفیت معین عبارت خواهد بود از:

$$\sum_i \tilde{u}u_{iz_i} + \sum_j \tilde{f}f_j x_j + \sum_l \tilde{g}_l y_l + \sum_m \tilde{b}_m f_m + \sum_n \tilde{a}_n w_n$$

۲. مجموع هزینه‌های حمل محصول از کارخانه‌ها به مراکز توزیع، از مراکز توزیع به مشتریان، از مشتریان به مراکز جمع‌آوری، از مراکز جمع‌آوری به مراکز احیاء، از مراکز جمع‌آوری به مراکز بازیافت، از مراکز احیاء به مراکز توزیع، از مراکز بازیافت

۳. مجموعه‌ها و پارامترهای ورودی مدل

۱.۳. مجموعه‌ها

i : اندیس مکان‌های داوطلب برای کارخانه (مراکز عرضه‌کننده)؛

j : اندیس مکان‌های داوطلب برای مراکز توزیع؛

k : اندیس مکان‌های ثابت برای خردفروشان؛

l : اندیس مکان‌های کاندید برای مراکز جمع‌آوری؛

m : اندیس مکان‌های کاندید برای احیاء؛

n : اندیس مکان‌های کاندید برای مراکز بازیافت؛

e : اندیس مکان‌های ثابت برای مشتریان مواد؛

t : دوره زمانی.

۲.۳. پارامترها

r_{kt} : مقدار بازگشت از مشتری k در دوره‌ی t ؛

c_{et} : تقاضای مشتریان مواد e در دوره‌ی t ؛

$\tilde{\mu}_i$: میانگین کسر اوراقی در دوره‌ی i ؛

\tilde{u}_{ii} : هزینه‌ی ثابت بازکردن کارخانه‌ی i ؛

\tilde{f}_{jj} : هزینه‌ی ثابت بازکردن مرکز توزیع j ؛

\tilde{g}_l : هزینه‌ی ثابت بازکردن مرکز جمع‌آوری l ؛

\tilde{b}_m : هزینه‌ی ثابت بازکردن مرکز احیاء m ؛

\tilde{a}_n : هزینه‌ی ثابت بازکردن مرکز بازیافت n ؛

c_{ojj} : هزینه‌ی حمل هر واحد محصول از کارخانه i به مرکز توزیع j ؛

c_{ujk} : هزینه‌ی حمل هر واحد محصول از مرکز توزیع j به مشتری k ؛

c_{qkl} : هزینه‌ی حمل هر واحد محصول از مشتری k به مرکز جمع‌آوری l ؛

c_{plm} : هزینه‌ی حمل هر واحد محصول از مرکز جمع‌آوری l به مرکز احیاء m ؛

c_{sln} : هزینه‌ی حمل هر واحد محصول از مرکز جمع‌آوری l به مرکز بازیافت n ؛

c_{chmj} : هزینه‌ی حمل هر واحد محصول از مرکز احیاء m به مرکز توزیع j ؛

c_{vne} : هزینه‌ی حمل هر واحد محصول از مرکز بازیافت n به مشتری مواد e ؛

\tilde{p}_i : هزینه‌ی ساخت هر واحد از محصول در کارخانه‌ی i ؛

\tilde{q}_j : هزینه‌ی پردازش هر واحد از محصول در مرکز توزیع j ؛

\tilde{B}_l : هزینه‌ی پردازش هر واحد از محصول در مرکز جمع‌آوری l ؛

\tilde{T}_m : هزینه‌ی بازسازی هر واحد از محصول در مرکز احیاء m ؛

$\tilde{\theta}_n$: هزینه‌ی بازیافت هر واحد از محصول در مرکز بازیافت n ؛

\tilde{p}_{pi} : حداکثر ظرفیت کارخانه‌ی i در دوره‌ی t ؛

\tilde{p}_{xj} : حداکثر ظرفیت مرکز توزیع j در هر دوره؛

\tilde{p}_{y_l} : حداکثر ظرفیت مرکز جمع‌آوری l در هر دوره؛

\tilde{p}_{z_m} : حداکثر ظرفیت مرکز احیاء m در هر دوره؛

\tilde{p}_{w_n} : حداکثر ظرفیت مرکز بازیافت n در هر دوره؛

\tilde{A}_j : هزینه‌ی ثابت سفارش موجودی در مرکز توزیع j ؛

به مشتریان مواد عبارت خواهد بود از:

$$\begin{aligned} & \sum_t \sum_i \sum_j \widetilde{co}_{ij} o_{ijt} + \sum_t \sum_j \sum_k \widetilde{cu}_{jk} u_{jkt} \\ & + \sum_t \sum_k \sum_l \widetilde{cq}_{kl} q_{klt} + \sum_t \sum_l \sum_m \widetilde{cp}_{lm} p_{lmt} \\ & + \sum_t \sum_l \sum_n \widetilde{cs}_{ln} s_{ln t} + \sum_t \sum_i \sum_j \widetilde{ch}_{mj} h_{mjt} \gamma_{mj} \\ & + \sum_t \sum_n \sum_e \widetilde{cv}_{ne} \nu_{net} \end{aligned}$$

۳. مجموع هزینه‌های ساخت محصول در کارخانه، پردازش محصول در مرکز توزيع، پردازش محصول در مرکز توزيع، بازاری محصول در مرکز احياء، تقسیم محصول در مرکز بازیافت، عبارت است از:

$$\begin{aligned} & \sum_t \sum_i \sum_j \widetilde{pi} o_{ijt} + \sum_t \sum_j \sum_k \widetilde{\varphi}_j u_{jkt} \\ & + \sum_t \sum_k \sum_l \widetilde{B}_l p_{lmt} + \sum_t \sum_l \sum_n \widetilde{B}_l s_{ln t} \\ & + \sum_t \sum_l \sum_n \widetilde{\tau}_m h_{mjt} \gamma_{mj} + \sum_t \sum_n \sum_e \widetilde{\theta}_n \nu_{net} \end{aligned}$$

۴. فرض کنید D_j و L_j میانگین و واریانس تقاضای روزانه و زمان انتظار سفارش در مرکز توزيع ز باشند. آنگاه تقاضای مرکز توزيع ز دارای توزيع نرمال با میانگین $\mu_{kt}\alpha_{jk}$ و واریانس $\nu_{kt}\alpha_{jk}$ است، زیرا تقاضاهای مشتریان دارای توزيع نرمال و مستقل است. به طور مشابه، زمان انتظار سفارش در هر مرکز توزيع برابر است با: $L_j = \sum_i l_{ij} \beta_{ij}$. تقاضا در مرکز توزيع ز در طی زمان انتظار دارای توزيع نرمال با میانگین $L_j \Gamma_j$ و واریانس $D_j L_j \Gamma_j$ است. با توجه به این که هر مرکز توزيع از سیاست کنترلی (r, Q) استفاده می‌کند -- یعنی اگر سطح موجودی کمتر از r شود مقدار Q از محصول سفارش داده می‌شود -- از رویه‌ی تخمین میزان سفارش اقتصادی برای حل بهینه‌ی سیاست (r, Q) در این تحقیق استفاده شده است. برای به دست آوردن هزینه موجودی بهینه، مقدار سفارش بهینه، و سطح ذخیره‌ی احتیاطی به دست می‌آید. مقدار سفارش بهینه در هر مرکز توزيع چنین محاسبه می‌شود:

$$Q_j^* = \sqrt{2 A_j \chi \sum_k \mu_{kt} \alpha_{jk} / h h_{jt}}$$

علاوه بر آن، سطح بهینه‌ی سفارش مجدد و سطح ذخیره‌ی احتیاطی در هر مرکز توزيع را می‌توان چنین به دست آورد:

$$r_j = \sum_k \mu_{kt} \alpha_{jk} \sum_j l_{ij} \beta_{ji} + z_\alpha \sqrt{\sum_i \sum_k \nu_{kt} l_{ij} \alpha_{jk} \beta_{ji}}$$

$$ss_j = \sqrt{\sum_i \sum_k \nu_{kt} l_{ij} \alpha_{jk} \beta_{ji}}$$

که در آن α نشان‌گر «سطح خدمت‌رسانی» است؛ به این معنا که مقدار کمبود تأمین‌کننده در طی زمان انتظار با احتمال کمتر با مساوی α رخ می‌دهد و $z_\alpha = \text{مثلاً } 25\%$ است. $p(Z \leq z_\alpha) = \alpha$ بدين معناست که زمان انتظار تقاضاهای با احتمال 97.5% ارضاء شده است و $z_\alpha = 1.96$. تابع هزینه‌ی موجودی بهینه در هر مرکز توزيع با عبارت زير بيان می‌شود:

$$\begin{aligned} c_j^{INV} = & \sqrt{2 A_j h h_{jt} \chi \sum_i \mu_{kt} \alpha_{jk}} \\ & + z_\alpha h h_{jt} \sqrt{\sum_i \sum_k \nu_{kt} l_{ij} \alpha_{jk} \beta_{ji}} \end{aligned}$$

که جمله‌ی اول آن معرف میزان موجودی در دسترس، و جمله‌ی دوم معرف میزان ذخیره‌ی احتیاطی است. این رابطه نشان‌گر تأثیر رسک اشتراکی با متمرکز کردن ذخیره‌ی احتیاطی در مرکز توزيع است؛ به عبارتی با کسب مقادیر بهینه‌ی از موجودی در دسترس و موجودی احتیاطی به هدف کاهش هزینه‌های ناشی از نگهداری موجودی دست خواهیم یافت. استراتژی رسک اشتراکی ذخیره‌ی احتیاطی وقتی که مرکز توزيع به صورت متمرکز هستند، موجب کاهش هزینه‌های موجودی و بالا بردن مقداری از سطح خدمت‌رسانی، بهویه در شرایطی که تقاضاهای خیلی متفاوت‌اند، خواهد شد.^[۱۷]

$$\begin{aligned} \text{Min } w_1 = & \sum_i \widetilde{uu}_i z_i + \sum_j \widetilde{ff}_j x_j + \sum_l \widetilde{gi}_l y_l + \sum_m \widetilde{bm}_m f_m \\ & + \sum_n \widetilde{an}_n w_n + \sum_t \sum_i \sum_j (\widetilde{co}_{ij} + \widetilde{pi}_i) o_{ijt} \\ & + \sum_t \sum_j \sum_k (\widetilde{cu}_{jk} + \widetilde{\varphi}_j) u_{jkt} \\ & + \sum_t \sum_k \sum_l \widetilde{cq}_{kl} q_{klt} \\ & + \sum_t \sum_l \sum_m (\widetilde{cp}_{lm} + \widetilde{Bl}_l) p_{lmt} \\ & + \sum_t \sum_l \sum_n (\widetilde{cs}_{ln} + \widetilde{B}_l) s_{ln t} \\ & + \sum_t \sum_j \sum_k (\widetilde{ch}_{mj} + \widetilde{\tau}_m) h_{mjt} \gamma_{mj} \\ & + \sum_t \sum_n \sum_e (\widetilde{cv}_{ne} + \widetilde{\theta}_n) \nu_{net} \\ & + \sum_t \sum_j \sqrt{2 A_j h h_{jt} \chi \sum_k \mu_{kt} \alpha_{jk}} \\ & + \sum_t \sum_j z_\alpha \widetilde{hh}_{jt} \sqrt{\sum_i \sum_k \nu_{kt} l_{ij} \alpha_{jk} \beta_{ji}} \end{aligned}$$

$$\sum_j u_{jkt} * \alpha_{jk} \geq \mu_{kt} \quad \forall k, t \quad (1)$$

$$\sum_n \nu_{net} \geq \widetilde{ce}_t \quad \forall e, t \quad (2)$$

$$\sum_l q_{kl} \geq \widetilde{rk}_t \quad \forall k, t \quad (3)$$

$$\widetilde{\eta}_t \sum_k q_{kl} = \sum_m p_{lmt} \quad \forall l, t \quad (4)$$

$$(1 - \widetilde{\eta}_t) \sum_k q_{kl} = \sum_m p_{lmt} \quad \forall l, t \quad (5)$$

$$\sum_j h_{mjt} = \sum_l p_{lmt} \quad \forall m, t \quad (6)$$

$$\sum_e \nu_{net} \leq \sum_l s_{ln t} \quad \forall n, t \quad (7)$$

$$\sum_i o_{ijt} + \sum_m h_{mjt} = \sum_k u_{jkt} \quad \forall j, t \quad (8)$$

$$\sum_j o_{ijt} \leq z_i \widetilde{pp}_i \quad \forall i, t \quad (9)$$

$$\sum_k \mu_{kt} \alpha_{jk} + \sum_m h_{mjt} \gamma_{mj} \leq x_j \widetilde{pp}_j \quad \forall j, t \quad (10)$$

$$\sum_k q_{kl} \leq y_l \widetilde{pp}_l \quad \forall l, t \quad (11)$$

$$\sum_l p_{lmt} \leq f_m \widetilde{pp}_m \quad \forall m, t \quad (12)$$

$$\sum_l s_{ln t} \leq w_n \widetilde{pp}_n \quad \forall n, t \quad (13)$$

$$\sum_i \beta_{ij} \leq x_j \quad \forall j \quad (14)$$

$$\sum_j \alpha_{jk} = 1 \quad \forall k \quad (15)$$

$$\alpha_{jk} \leq \sum_i \beta_{ij} \quad \forall j, k \quad (16)$$

همچنین در جمله‌ی آخر تابع هدف مدل، جمله‌ی غیرخطی حاصل ضرب دو متغیر بازیزی را داریم. برای خطی کردن ضرب دو متغیر بازیزی می‌توان یک متغیر بازیزی جدید تعریف کرد طوری که:

$$\begin{aligned}\delta &= \alpha * \beta \\ \delta &\in \{0, 1\}\end{aligned}$$

این حاصل ضرب سه محدودیت جدید زیر را به مدل اضافه می‌کند.

$$\alpha + \beta - \delta \leq 1$$

$$\delta \leq \alpha$$

$$\delta \leq \beta$$

با توجه به مطالب ذکر شده درخصوص ضرب دو متغیر بازیزی و نیز ضرب یک متغیر بازیزی در یک متغیر صحیح پیوسته، متغیرهای زیر را تعریف می‌کنیم:

$$\alpha_{1jkt} = u_{jkt}\alpha_{jk} \quad \forall j, k, t$$

$$\pi_{mjt} = h_{mjt}\gamma_{mj} \quad \forall m, j, t$$

$$\delta_{ijk} = \alpha_{jk} * \beta_{ij} \quad \forall i, j, k$$

که در آن α_{1jkt} و π_{mjt} متغیرهای مثبت پیوسته‌اند و δ_{ijk} یک متغیر بازیزی است. با توجه به مطلب بیان شده، تابع هدف مدل عبارت خواهد بود از:

$$\begin{aligned}\text{Min } w_1 = & \sum_i \widetilde{uu}_i z_i + \sum_j \widetilde{ff}_j x_j + \sum_l \widetilde{gi}_l y_l + \sum_m \widetilde{bm}_m f_m \\ & + \sum_n \widetilde{an}_n w_n + \sum_t \sum_i \sum_j (\widetilde{co}_{ij} + \widetilde{pi}) o_{ijt} \\ & + \sum_t \sum_j \sum_k (\widetilde{cu}_{ij} + \widetilde{\varphi}_j) u_{jkt} \\ & + \sum_t \sum_k \sum_l \widetilde{cq}_{kl} q_{kl} \\ & + \sum_t \sum_l \sum_m (\widetilde{cp}_{lm} + \widetilde{B}_l) p_{lmt} \\ & + \sum_t \sum_l \sum_n (\widetilde{cs}_{ln} + \widetilde{B}_l) s_{lnt} \\ & + \sum_t \sum_j \sum_k (\widetilde{ch}_{mj} + \widetilde{\tau}_m) \pi_{mjt} \\ & + \sum_t \sum_n \sum_e (\widetilde{cv}_{ne} + \widetilde{\theta}_l) \nu_{net} \\ & + \sum_t \sum_j \sqrt{2A_j \widetilde{hh}_{jt} \chi_t \sum_k \mu_{kt} \alpha_{jk}} \\ & + \sum_t \sum_j z_\alpha \widetilde{hh}_{jt} \sqrt{\sum_i \sum_k \nu_{kt} l_{ij} \delta_{ijk}}\end{aligned}$$

همچنین محدودیت‌های ۱ و ۱۰ به ترتیب به محدودیت‌های ۱' و ۱۰' تبدیل می‌شوند و محدودیت‌های ۲۲ تا ۳۰ نیز به مدل اضافه می‌شود:

$$\sum_j \alpha_{1jkt} \geq \mu_{kt} \quad \forall k, t \quad (1')$$

$$\sum_k \mu_{kt} \alpha_{jk} + \sum_m \pi_{mjt} \leq x_j \widetilde{px}_j \quad \forall j, t \quad (10')$$

$$\alpha_{jk} + \beta_{ij} - \delta_{ijk} \leq 1 \quad \forall i, j, k \quad (22)$$

$$\delta_{ijk} \leq \alpha_{jk} \quad \forall i, j, k \quad (23)$$

$$\delta_{ijk} \leq \beta_{ij} \quad \forall i, j, k \quad (24)$$

$$\alpha_{1jkt} - M \alpha_{jk} \leq 0 \quad \forall i, j, k \quad (25)$$

$$-u_{jkt} + \alpha_{jk} \leq 0 \quad \forall i, j, k \quad (26)$$

$$\beta_{ij} \leq z_i \quad \forall i, j \quad (17)$$

$$\sum_m \gamma_{mj} = x_j \quad \forall j \quad (18)$$

$$\sum_j \gamma_{mj} = f_m \quad \forall m \quad (19)$$

$$z_i, x_j, y_l, f_m, w_n, \alpha_{jk}, \beta_{ij} \in \{0, 1\} \quad \forall i, j, l, m, n, k \quad (20)$$

$$o_{ijt}, u_{jkt}, q_{kl}, p_{lmt}, s_{lnt}, h_{mjt}, \nu_{net} \geq 0 \quad (21)$$

محدودیت ۱ نشان می‌دهد که میانگین تقاضای مشتریان برآورده می‌شود. محدودیت ۲ نشان می‌دهد که تقاضای مشتریان مواد برآورده می‌شود. محدودیت ۳ نشان می‌دهد که تسامی محصولات برگشتی از مشتریان جمع‌آوری می‌شود. محدودیت‌های ۴ تا ۸ جریان معادل توزیع در مرکز جمع‌آوری، بازیافت و احیاء را نشان می‌دهند. محدودیت‌های ۹ تا ۱۳ به ترتیب مربوط به ظرفیت توزیع کنندگان، تأمین‌کنندگان مرکز احیاء و مرکز بازیافت هستند. محدودیت ۱۴ نشان می‌دهد که اگر مرکز توزیع ز باز باشد آیا به تولیدکننده h تخصیص یافته است یا خبر؛ به عبارتی این محدودیت برای تخصیص تکی هر تولیدکننده به کار می‌رود به صورتی که هر توزیع کننده در صورت باز بودن تنها از یک تولیدکننده خدمات دریافت کند. محدودیت ۱۵ نشان‌گر رابطه‌ی تک منبعی برای هر مشتری است. محدودیت ۱۶ نشان می‌دهد که هر مشتری فقط در صورتی می‌تواند از یک مرکز توزیع خدمت بگیرد که آن مرکز توزیع دست کم از یک تولیدکننده خدمت گرفته باشد. محدودیت ۱۷ نشان می‌دهد که مرکز توزیع ز در صورتی می‌تواند از تولیدکننده h خدمت دریافت کند که تولیدکننده h باز باشد. محدودیت ۱۸ و ۱۹ برای تضمین بسته‌بودن زنجیره بیان شده است به این صورت که اگر مرکز توزیعی باز باشد حتماً از طرف یک مرکز احیاء سرویس‌دهی می‌شود. محدودیت ۲۰ مربوط به متغیرهای بازیزی در نظر گرفته شده در مدل و محدودیت ۲۱ مربوط به نوع متغیرهای پیوسته مدل است.

۵. خطی‌سازی محدودیت‌های غیرخطی

در مدل مذکور مشاهده می‌شود که محدودیت‌های ۱ و ۱۰ غیرخطی‌اند. برای خطی‌سازی این محدودیت‌ها از روش خطی کردن مدل غیرخطی حاصل ضرب یک متغیر بازیزی در یک متغیر صحیح پیوسته استفاده می‌شود. براساس این روش اگر x یک متغیر صحیح پیوسته و π یک متغیر بازیزی باشد، آنگاه $y = x\pi$ ، که در آن y یک متغیر پیوسته است. سپس شرط منطقی:

$$\text{If } \pi = 0 \rightarrow y = 0$$

$$\text{If } \pi = 1 \rightarrow y = x$$

را برقرار می‌کنیم که این شرط معادل سه محدودیت زیر هستند:

$$y - M\pi \leq 0$$

$$-x + y \leq 0$$

$$x - y + M\pi \leq M$$

که در آنها M حد بالای x و y است.

استفاده می‌شود. روش خیمینز مبتنی است بر تعریف «مقدار مورد انتظار» و «بازه مورد انتظار» از اعداد فازی تعریف می‌شود.
فرض کنید که \tilde{c} یک عدد فازی مثلثی باشد. معادله‌ی زیر را می‌توان به عنوان تابع عضویت \tilde{c} تعریف کرد.

$$\mu_{\tilde{c}}(x) = \begin{cases} f_c(x) = \frac{x - c^p}{c^m - c^p} & \text{If } c^p \leq x \leq c^m \\ 1 & \text{If } x = c^m \\ g_c(x) = \frac{c^o - x}{c^o - c^m} & \text{If } c^m \leq x \leq c^o \\ 0 & \text{If } x \geq c^o \text{ Or } x \leq c^p \end{cases}$$

برای تضمین وجود معکوس برای تابع (x) و $f_c(x)$ ، فرض می‌شود $f_c(x)$ پیوسته و صعودی و $g_c(x)$ پیوسته و نزولی باشد. طبق روش خیمینز^[۱۹] بازه انتظاری (EI) و مقدار انتظاری (EV) از عدد فازی مثلثی \tilde{c} چنین تعریف می‌شود:

$$EI(\tilde{c}) = [E^c, E^{\circ}] = \left(\int_0^1 f_c^{-1}(x) dx, \int_0^1 g_c^{-1}(x) dx \right) \\ = \left(\frac{1}{2}(c^p + c^m), \frac{1}{2}(c^m + c^o) \right) \\ EV(\tilde{c}) = \frac{E^c + E^{\circ}}{2} = \frac{c^p + 2c^m + c^o}{4}$$

در اینجا باید توجه داشت که برای عدد فازی ذوزنقه‌ی می‌توان از معادلات یکسانی بهره جست. علاوه بر آن مطابق روش رتبه‌بندی خیمینز^[۲۰] برای هر جفت از اعداد فازی \tilde{a} و \tilde{b} ، درجه‌ی \tilde{a} که \tilde{a} بزرگ‌تر از \tilde{b} باشد چنین تعریف می‌شود:

$$\mu_m(\tilde{a}, \tilde{b}) = \begin{cases} 0 & \text{if } E^a - E^b \leq 0 \\ \frac{E^a - E^b}{E^a - E^b - (E^a - E^b)} & \text{if } 0 \in [E^a - E^b, E^a - E^b] \\ 1 & \text{if } E^a - E^b \geq 0 \end{cases} \quad (31)$$

هنگامی که $\alpha'' \mu_M(\tilde{a}, \tilde{b}) \leq \alpha''$ باشد، گفته می‌شود که \tilde{a} در کمترین درجه α'' بزرگ‌تر یا مساوی \tilde{b} است. و با $\tilde{a} \leq_{\alpha''} \tilde{b}$ نشان داده می‌شود.
همچنین مطابق تعریف معادلات فازی،^[۲۱] برای هر جفت از اعداد فازی \tilde{a} و \tilde{b} گفته می‌شود که \tilde{a} در درجه α'' مساوی با \tilde{b} است اگر:

$$\tilde{a} \geq_{\alpha''} \tilde{b}, \quad \tilde{a} \leq_{\alpha''} \tilde{b} \quad (32)$$

معادله‌ی ۳۲ را می‌توان چنین بازنویسی کرد:

$$\frac{\alpha''}{\alpha} \leq \mu_M(\tilde{a}, \tilde{b}) \leq 1 - \frac{\alpha''}{\alpha}$$

اکنون مدل برنامه‌ریزی ریاضی ۳۳ که در آن تمامی پارامترها به عنوان اعداد فازی مثلثی یا ذوزنقه‌ی تعریف می‌شوند عبارت است از:

$$\text{Min } z = \tilde{c}^t x$$

s.t.

$$\begin{aligned} \tilde{a}_i x &\geq \tilde{b}_i & i = 1, \dots, l \\ \tilde{a}_i x &= \tilde{b}_i & i = l+1, \dots, m \\ x &\geq 0 \end{aligned} \quad (33)$$

$$u_{jkt} - \alpha \mathbf{1}_{jkt} + M \alpha_{jk} \leq M \quad \forall i, j, k \quad (27)$$

$$\pi_{mj t} - M \gamma \leq 0 \quad \forall m, j, t \quad (28)$$

$$-h_{mj t} - M \gamma \leq 0 \quad \forall m, j, t \quad (29)$$

$$h_{mj t} - \pi_{mj t} + M \gamma \leq M \quad \forall m, j, t \quad (30)$$

در این محدودیتها، $\mathbf{1}_{jkt}$ متغیر بازی و $\alpha \mathbf{1}_{jkt}$ و γ متغیرهای صحیح مثبت‌اند.
مدل ارائه شده یک مدل برنامه‌ریزی عدد صحیح غیرخطی ترکیبی با محدودیت‌های خطی است. نکته‌ی قابل توجه این که عدم قطعیت به دو صورت بیان می‌شود:

۱. انعطاف‌پذیری محدودیت‌ها و اهداف؛

۲. عدم قطعیت در داده‌ها.

عدم قطعیت در داده‌ها را می‌توان به دو گروه تقسیم کرد:

(الف) تصادفی بودن در پارامترهای مدل که از طبیعت تصادفی حوادث می‌آید و به عضویت یا عدم عضویت در یک مجموعه منجر می‌شود. معمولاً از رویکرد برنامه‌ریزی تصادفی برای مدل‌کردن پارامترهای تصادفی مدل استفاده می‌شود.

(ب) عدم قطعیت شناختی که در اثر کمبود دانش در پارامترهای مدل ایجاد می‌شود و رویکرد برنامه‌ریزی تصادفی به این نوع از عدم قطعیت می‌پردازد.

چنان‌که در مفروضات آورده شد، بیشتر پارامترهای مدل با عدم قطعیت رویرو هستند و باید از روشی برای نشان دادن و مواجهه با ریسک‌های مختلف استفاده کرد که از کارآمدی بالایی برخوردار باشد. از آنجا که مفهوم فازی یکی از کارآمدترین روش‌های کنترل و مدیریت ریسک و عدم قطعیت است، در این نوشتار از این مفهوم استفاده شده است. این مسئله را می‌توان با برنامه‌ی GAMS برای مسائلی با ابعاد کوچک حل کرد.

۶. رویکرد فازی مورد استفاده

تا اینجا عدم قطعیت در تقاضا در نظر گرفته شد و استراتژی ریسک اشتراکی برای مقابله با عدم قطعیت موجود در تقاضاهای مورد استفاده قرار گرفت. حال با توجه به این که عدم قطعیت ممکن است در دیگر پارامترهای مسئله نیز اتفاق بیفتد، به دنبال فرموله کردن مسئله‌یی هستیم که تمامی پارامترهای آن با عدم قطعیت رویرو هستند و به دنبال روشی برای مواجهه با ریسک‌های مختلف هستیم که از کارایی و کارآمدی بالایی برخوردار باشد.

مفهوم فازی یکی از کارآمدترین روش‌های کنترل و مدیریت ریسک و عدم قطعیت است و در زمینه‌های مختلف اعم از مدیریت زنجیره‌ی تأمین، حمل و نقل و مسیریابی، انتخاب سبد سهام و مدیریت پروژه مکرر مورد استفاده قرار گرفته است. در این پایان‌نامه نیز از رویکرد فازی برای مواجهه با عدم قطعیت‌های موجود در مدل استفاده می‌شود و با استفاده از این رویکرد تمامی پارامترهای غیرقطعی را تحت کنترل قرار داده و برای تصمیم‌گیری‌های مختلف زنجیره به بهترین شکل از آن استفاده خواهد شد.

در ابتدا باید به دنبال روشی بود که بتوان مدل دارای پارامترهای غیرقطعی را به صورتی که ماهیت نامعین بودن داده‌ها حفظ شود، به صورت قطعی درآورد تا در حل و انجام تحلیل‌های مورد نیاز دچار ابهامات و سردرگمی نشویم و از خصوصیات مدل‌های قطعی نیز استفاده شود. در این تحقیق از روش فازی‌زدایی خیمینز^[۱۸]

مطابق آنچه که در بالا شرح داده شد، مدل قطعی هم ارز با مدل طراحی شبکه‌ی زنجیره‌ی تأمین حلقه‌بسته با در نظر گرفتن ریسک اشتراکی چنین فرمول بندی می‌شود:

مدل مذکور یک مدل فازی n بعدی با m محدودیت است، که در آن $(\tilde{c}_1^t, \tilde{c}_2^t, \dots, \tilde{c}_n^t)$ به ترتیب نشان‌دهنده‌ی بردار ضرایب تابع هدف، بردار سمت راست و ضرایب تکنولوژیک هستند. بردار تصمیم‌گیری $x \in \Re^n$ در درجه α شدنی است اگر:

$$\begin{aligned} \text{Min } w = & \sum_i \left(\frac{u_i^p + 2u_i^m + u_i^o}{4} \right) z_i + \sum_j \left(\frac{ff_j^p + 2ff_j^m + ff_j^o}{4} \right) x_j \\ & + \sum_l \left(\frac{g_l^p + 2g_l^m + g_l^o}{4} \right) y_l + \sum_m \left(\frac{b_m^p + 2b_m^m + b_m^o}{4} \right) f_m \\ & + \sum_n \left(\frac{a_n^p + 2a_n^m + a_n^o}{4} \right) w_n \\ & + \sum_t \sum_i \sum_j \left(\frac{co_{ij}^p + 2co_{ij}^m + co_{ij}^o + p_{ij}^p + 2p_{ij}^m + p_{ij}^o}{4} \right) o_{ijt} \\ & + \sum_t \sum_j \sum_k \left(\frac{cu_{jk}^p + 2cu_{jk}^m + cu_{jk}^o + \varphi_j^p + 2\varphi_j^m + \varphi_j^o}{4} \right) u_{jkt} \\ & + \sum_t \sum_k \sum_l \left(\frac{cq_{kl}^p + 2cq_{kl}^m + cq_{kl}^o}{4} \right) q_{klt} \\ & + \sum_t \sum_l \sum_m \left(\frac{cp_{lm}^p + 2cp_{lm}^m + cp_{lm}^o + B_l^p + 2B_l^m + B_l^o}{4} \right) p_{lmt} \\ & + \sum_t \sum_l \sum_n \left(\frac{cs_{ln}^p + 2cs_{ln}^m + cs_{ln}^o + B_l^p + 2B_l^m + B_l^o}{4} \right) s_{lnt} \\ & + \sum_t \sum_i \sum_j \left(\frac{ch_{mj}^p + 2ch_{mj}^m + ch_{mj}^o + \tau_m^p + 2\tau_m^m + \tau_m^o}{4} \right) \pi_{mjt} \\ & + \sum_t \sum_i \sum_j \left(\frac{cv_{ne}^p + 2cv_{ne}^m + cv_{ne}^o + \theta_n^p + 2\theta_n^m + \theta_n^o}{4} \right) \nu_{net} \\ & + \sum_t \sum_j \sqrt{\gamma A_j \left(\frac{h_{jt}^p + 2h_{jt}^m + h_{jt}^o}{4} \right) \chi_t \sum_k \mu_{kt} \alpha_{jk}} \\ & + \sum_t \sum_j z_\alpha \left(\frac{h_{jt}^p + 2h_{jt}^m + h_{jt}^o}{4} \right) \sqrt{\sum_i \sum_k \nu_{kt} l_{ij} \delta_{ijk}} \end{aligned}$$

$$\sum_j \alpha \lambda_{jkt} \geq \mu_{kt} \quad \forall k, t$$

$$\sum_n \nu_{net} \geq \alpha'' \left(\frac{c_{et}^m + c_{et}^o}{4} \right) + (\alpha - \alpha'') \left(\frac{c_{et}^m + c_{et}^p}{4} \right) \quad \forall e, t$$

$$\sum_l q_{klt} \geq \alpha'' \left(\frac{r_{kt}^m + r_{kt}^o}{4} \right) + (\alpha - \alpha'') \left(\frac{r_{kt}^p + r_{kt}^m}{4} \right) \quad \forall k, t$$

$$\left[\left(\alpha - \frac{\alpha''}{4} \right) \left(\frac{\eta_t^m + \eta_t^o}{4} \right) + \left(\frac{\alpha''}{4} \right) \left(\frac{\eta_t^m + \eta_t^p}{4} \right) \right]$$

$$\sum_k q_{klt} \geq \sum_n s_{lnt} \quad \forall l, t$$

$$\left[\left(\frac{\alpha''}{4} \right) \left(\frac{\eta_t^m + \eta_t^o}{4} \right) + \left(\alpha - \frac{\alpha''}{4} \right) \left(\frac{\eta_t^m + \eta_t^p}{4} \right) \right]$$

$$\sum_k q_{klt} \leq \sum_n s_{lnt} \quad \forall l, t$$

$$\left[\alpha - \left(\frac{\alpha''}{4} \right) \frac{\eta_t^p + \eta_t^m}{4} - \left(\alpha - \frac{\alpha''}{4} \right) \frac{\eta_t^o + \eta_t^m}{4} \right]$$

$$\sum_k q_{klt} \leq \sum_m p_{lmt} \quad \forall l, t$$

$$\min_{i=1, \dots, m} \left\{ \mu_M(\tilde{a}_i x, \tilde{b}_i) \right\} = \alpha''$$

مطابق روابط ۳۱ و ۳۲، معادلات $\tilde{a}_i x \geq \tilde{b}_i$ و $\tilde{a}_i x \leq \tilde{b}_i$ به ترتیب هم ارزند با:

$$\frac{E_r^{a_i x} - E_v^{b_i}}{E_r^{a_i x} - E_v^{a_i x} + E_v^{b_i} - E_v^{b_i}} \geq \alpha'', \quad i = 1, \dots, l$$

$$\frac{\alpha''}{4} \leq \frac{E_r^{a_i x} - E_v^{b_i}}{E_r^{a_i x} - E_v^{a_i x} + E_r^{b_i} - E_v^{b_i}} \leq 1 - \frac{\alpha''}{4}, \quad i = l+1, \dots, m$$

این معادلات را می‌توان چنین نوشت:

$$[(1 - \alpha'') E_r^{a_i} + \alpha'' E_v^{a_i}] x \geq \alpha'' E_r^{b_i} + (1 - \alpha'') E_v^{b_i},$$

$$i = 1, \dots, l$$

$$\left[(1 - \frac{\alpha''}{4}) E_r^{a_i} + \frac{\alpha''}{4} E_v^{a_i} \right] x \geq \frac{\alpha''}{4} E_r^{b_i} + (1 - \frac{\alpha''}{4}) E_v^{b_i},$$

$$i = l+1, \dots, m$$

$$\left[\frac{\alpha''}{2} E_r^{a_i} + (1 - \frac{\alpha''}{2}) E_v^{a_i} \right] \leq (1 - \frac{\alpha''}{2}) E_r^{b_i} + \frac{\alpha}{2} E_v^{b_i},$$

$$i = l+1, \dots, m$$

به طور مشابه، با استفاده از روش رتبه‌بندی خیمینز [۱۴] اثبات می‌شود که یک حل شدنی مثل x° یک حل بهینه α'' -پذیرش از مدل ۳۳ است اگر و تنها اگر برای تمامی بردارهای تصمیم‌گیری x به طوری که $\tilde{a}_i x \geq_{\alpha''} \tilde{b}_i$ ، $i = 1, \dots, l$ -- معادله‌ی زیر حفظ شود:

$$\tilde{c}^t x \geq_{\frac{1}{4}} \tilde{c}^t x^\circ$$

بنابراین، x° با تابع هدف کمینه‌سازی در کمترین درجه $\frac{1}{4}$ در برابر دیگر جواب‌های شدنی، بهترین انتخاب است. هم‌ارزی فوق را می‌توان چنین نوشت:

$$\frac{E_r^{c^t x} - E_v^{c^t x}}{2} \geq \frac{E_r^{c^t x^\circ} - E_v^{c^t x^\circ}}{2}$$

درنتیجه، استفاده از بازه مورد انتظار و مقدار مورد انتظار عدد فازی، معادله‌ی مدل α'' -parametrik قطعی از مدل ۳۳ را می‌توان به صورت زیر نوشت:

$$\min \quad EV(\tilde{c}) x$$

s.t.

$$[(1 - \alpha'') E_r^{a_i} + \alpha'' E_v^{a_i}] x \geq \alpha'' E_r^{b_i} + (1 - \alpha'') E_v^{b_i}$$

$$i = 1, \dots, l$$

$$\left[(1 - \frac{\alpha''}{4}) E_r^{a_i} + \frac{\alpha''}{4} E_v^{a_i} \right] x \geq \frac{\alpha''}{4} E_r^{b_i} + \left(1 - \frac{\alpha''}{4} \right) E_v^{b_i}$$

$$i = l+1, \dots, m$$

$$\left[\frac{\alpha''}{2} E_r^{a_i} + (1 - \frac{\alpha''}{2}) E_v^{a_i} \right] x \geq (1 - \frac{\alpha''}{2}) E_r^{b_i} + \frac{\alpha''}{2} E_v^{b_i},$$

$$i = l+1, \dots, m$$

$$x \geq 0$$

$$\begin{aligned}
 & \sum_k \mu_k \alpha_{jk} + \sum_m \pi_{mj t} \leq x_j [\alpha'' \left(\frac{px_j^m + px_j^p}{\gamma} \right) \\
 & + (\gamma - \alpha'') \left(\frac{px_j^o + px_j^m}{\gamma} \right)] \quad \forall j, t \\
 & \sum_k q_{klt} \leq y_l \left[\alpha'' \left(\frac{py_l^p + py_l^m}{\gamma} \right) + (\gamma - \alpha'') \left(\frac{py_l^o + py_l^m}{\gamma} \right) \right] \\
 & \quad \forall l, t \\
 & \sum_l p_{lmt} \leq f_m \left[\alpha'' \left(\frac{pz_m^p + pz_m^m}{\gamma} \right) + (\gamma - \alpha'') \left(\frac{pz_m^o + pz_m^m}{\gamma} \right) \right] \\
 & \quad \forall m, t \\
 & \sum_l s_{lnt} \leq w_n \left[\alpha'' \left(\frac{pw_n^p + pw_n^m}{\gamma} \right) + (\gamma - \alpha'') \left(\frac{pw_n^o + pw_n^m}{\gamma} \right) \right] \\
 & \quad \forall n, t \\
 & \sum_i \beta_{ij} \leq x_j \quad \forall j \\
 & \sum_j \alpha_{jk} = \gamma \quad \forall k \\
 & \alpha_{jk} \leq \sum_i \beta_{ij} \quad \forall j, k \\
 & \beta_{ij} \leq z_i \quad \forall i, j \\
 & \sum_m \gamma_{mj} = x_j \quad \forall j \\
 & \sum_j \gamma_{mj} = f_m \quad \forall m \\
 & \alpha_{jk} + \beta_{ij} - \delta_{ijk} \leq \gamma \quad \forall i, j, k \\
 & \delta_{ijk} \leq \alpha_{jk} \quad \forall i, j, k \\
 & \delta_{ijk} \leq \beta_{ij} \quad \forall i, j, k \\
 & \alpha \gamma_{jkt} - M \alpha_{jk} \leq 0 \quad \forall j, k, t \\
 & -u_{jkt} + \alpha_{jk} \leq 0 \quad \forall j, k, t \\
 & u_{jkt} - \alpha \gamma_{jkt} + M \alpha_{jk} \leq M \quad \forall j, k, t \\
 & \pi_{mj t} - M \gamma \leq 0 \quad \forall m, j, t \\
 & -h_{mj t} - M \gamma \leq 0 \quad \forall m, j, t \\
 & h_{mj t} - \pi_{mj t} + M \gamma \leq M \quad \forall m, j, t \\
 & x_j, y_l, f_m, w_n, \alpha_{jk}, \beta_{ij}, \delta_{ijk} \in \{0, 1\} \quad \forall i, j, l, m, n, k \\
 & o_{ijt}, u_{jkt}, q_{klt}, p_{lmt}, s_{lnt}, h_{mj t}, v_{net}, \pi_{mj t}, \alpha \gamma_{jkt} \geq 0 \\
 & \forall i, j, l, m, n, k, e, t
 \end{aligned}$$

\left[\gamma - \left(\gamma - \frac{\alpha''}{\gamma} \right) \frac{\eta_t^p + \eta_t^m}{\gamma} - \left(\frac{\alpha''}{\gamma} \right) \frac{\eta_t^o + \eta_t^m}{\gamma} \right] \\
 \sum_k q_{klt} \geq \sum_m p_{lmt} \quad \forall l, t \\
 \sum_j h_{mj t} = \sum_l p_{lmt} \quad \forall m, t \\
 \sum_e v_{net} \leq \sum_l s_{lnt} \quad \forall n, t \\
 \sum_i o_{ijt} + \sum_m h_{mj t} = \sum_k u_{jkt} \quad \forall j, t \\
 \left[\gamma - \left(\gamma - \frac{\alpha''}{\gamma} \right) \frac{\eta_t^p + \eta_t^m}{\gamma} - \left(\frac{\alpha''}{\gamma} \right) \frac{\eta_t^o + \eta_t^m}{\gamma} \right] \\
 \sum_k q_{klt} \geq \sum_m p_{lmt} \quad \forall l, t \\
 \sum_j h_{mj t} = \sum_l p_{lmt} \quad \forall m, t \\
 \sum_e v_{net} \leq \sum_l s_{lnt} \quad \forall n, t \\
 \sum_i o_{ijt} + \sum_m h_{mj t} = \sum_k u_{jkt} \quad \forall j, t \\
 \sum_j o_{ijt} \leq z_i \left[\alpha'' \left(\frac{pp_i^p + pp_i^m}{\gamma} \right) + (\gamma - \alpha'') \left(\frac{pp_i^o + pp_i^m}{\gamma} \right) \right] \\
 \forall i, t \\
 \sum_k \mu_k \alpha_{jk} + \sum_m \pi_{mj t} \leq x_j \left[\alpha'' \left(\frac{px_j^m + px_j^p}{\gamma} \right) \right. \\
 \left. + (\gamma - \alpha'') \left(\frac{px_j^o + px_j^m}{\gamma} \right) \right] \quad \forall j, t \\
 \sum_k q_{klt} \leq y_l \left[\alpha'' \left(\frac{py_l^p + py_l^m}{\gamma} \right) + (\gamma - \alpha'') \left(\frac{py_l^o + py_l^m}{\gamma} \right) \right] \\
 \forall l, t \\
 \sum_l p_{lmt} \leq f_m \left[\alpha'' \left(\frac{pz_m^p + pz_m^m}{\gamma} \right) + (\gamma - \alpha'') \left(\frac{pz_m^o + pz_m^m}{\gamma} \right) \right] \\
 \forall m, t \\
 \sum_l s_{lnt} \leq w_n \left[\alpha'' \left(\frac{pw_n^p + pw_n^m}{\gamma} \right) + (\gamma - \alpha'') \left(\frac{pw_n^o + pw_n^m}{\gamma} \right) \right] \\
 \forall n, t \\
 \left[\gamma - \left(\gamma - \frac{\alpha''}{\gamma} \right) \frac{\eta_t^p + \eta_t^m}{\gamma} - \left(\frac{\alpha''}{\gamma} \right) \frac{\eta_t^o + \eta_t^m}{\gamma} \right] \\
 \sum_k q_{klt} \geq \sum_m p_{lmt} \quad \forall l, t \\
 \sum_j h_{mj t} = \sum_l p_{lmt} \quad \forall m, t \\
 \sum_e v_{net} \leq \sum_l s_{lnt} \quad \forall n, t \\
 \sum_i o_{ijt} + \sum_m h_{mj t} = \sum_k u_{jkt} \quad \forall j, t \\
 \sum_j o_{ijt} \leq z_i \left[\alpha'' \left(\frac{pp_i^p + pp_i^m}{\gamma} \right) + (\gamma - \alpha'') \left(\frac{pp_i^o + pp_i^m}{\gamma} \right) \right] \\
 \forall i, t

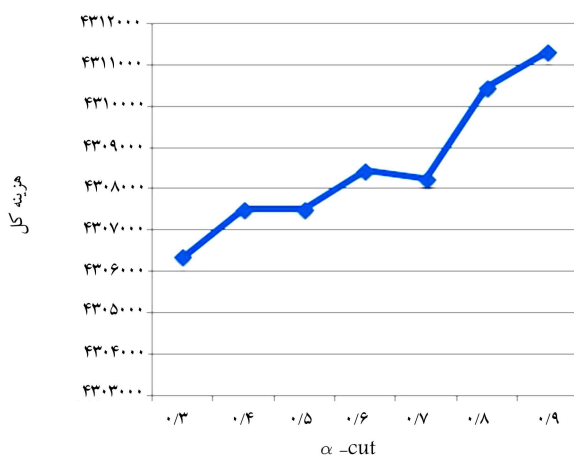
۷. نتایج حل مدل فازی مسئله طراحی شبکه زنجیره‌ی تأمین حلقه‌بسته

در بخش پیش بیان کردیم که برای حالتی که همه پارامترهای موجود غیرقطعی باشند می‌توان این عدم قطعیت را فازی در نظر گرفت و از روش خمینز مدل را به مدل قطعی تبدیل کرد (مدل فازی زدایی شده نیز ارائه شد). همچنین مدل ارائه شده برای

آنها از اهداف مدل پیشنهادی بود مقدار متغیرهای به دست آمده برای $\alpha'' = 0,5$ در جدول ۳ ارائه می‌شود.
و همچنین چگونگی تخصیص مرکز توزیع به مشتریان، مشتریان به مرکز جمع‌آوری، مرکز جمع‌آوری به مرکز بازیافت و احیاء و مرکز احیاء به مرکز توزیع در جدول ۴ ارائه شده است.

مقدار سفارش بهینه، سطح بهینه سفارش مجدد، و سطح ذخیره احتیاطی نیز جزء نتایج مورد انتظار از مدل بودند که برای $\alpha'' = 0,5$ در جدول ۵ به ترتیب ارائه می‌شوند.

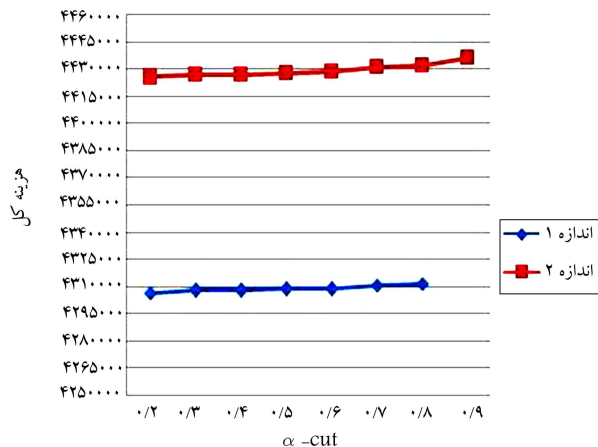
مدل برای مسئله اندازه ۲ با مقادیر جدید نیز اجرا می‌شود. حال داده‌های تصادفی برای مسئله ۲ استخراج می‌شود (جدول ۶). چنان‌که مشاهده می‌شود، هر قدر برش α'' بالا می‌رود هزینه‌ی کل زنجیره افزایش می‌باشد. به دلیل غیرخطی بودن مدل فازی ارائه شده به ازای بعضی از مقادیر α'' مسئله جواب‌شدنی ندارد. شکل ۲ روند افزایش مقدارتابع هدف را به ازای افزایش سطح α'' برای مدل در



شکل ۱. افزایش هزینه با افزایش برش α'' برای مسئله اندازه ۱.

جدول ۳. تسهیلات باز برای مدل فازی با اندازه ۱ و $\alpha'' = 0,5$.

نوع	مرکز	مرکز	مرکز	مرکز
تسهیل	تولید	توزیع	جمع‌آوری	احیاء
تسهیلات باز	۲	۱	۳	۱
تسهیلات باز	۱	۲	۱	۰



شکل ۲. افزایش هزینه با افزایش برش α'' برای مسئله با اندازه‌های ۱ و ۲.

دو اندازه‌ی مختلف نشان داده شده در جدول ۱ را به ازای مقادیر مختلف از برش α'' حل کرده و نتایج را ارائه می‌دهیم.
برای تولید پارامترهای فازی مثلاً، بر پایه مطالعات موجود،^[۱] سه نقطه‌ی مهم (یعنی: بیشترین احتمال (c^m)، بدینه‌ی ترین مقدار (c^p) و خوش‌بینانه‌ی ترین مقدار (c^o)) برای هر پارامتر می‌باشند. برای هر پارامتر ابتدا بیشترین احتمال (c^m) به صورت تصادفی تولید شده و برای حالت مدل قطعی پیشنهادی، مقدار بیشترین احتمال را به ازای مقادیر قطعی در تمامی پارامترها به کار می‌بریم. پس از آن، بدون از دست دادن کلیت، دو عدد تصادفی (c^o بین ۰,۲ و ۰,۸) با استفاده از توزیع یکنواخت تولید شده‌اند. همچنین بدینه‌ی ترین مقدار (c^p) و خوش‌بینانه‌ی ترین مقدار (c^o) از عدد فازی (\bar{c}) با عبارات زیر محاسبه می‌شود:

$$c^o = (1 + r_1)c^m$$

$$c^p = (1 - r_2)c^m$$

برای مقایسه‌ی مدل‌های احتمالی و قطعی، تمامی مدل‌های در نرم‌افزار بهینه‌سازی GAMS کد شده‌اند و رایانه‌ی با مشخصات دaul-core CPU RAM: ۳GB Pentium(R) مورد استفاده قرار گرفته است.

اکنون نتایج حاصل از مدل فازی را به ازای داده‌های تصادفی برای مدل اندازه ۱ در جدول ۲ می‌آوریم. همانطور که دیده می‌شود در این مسئله نیز با بالا رفتن سطح α'' هزینه‌ی کل سیستم افزایش می‌باشد و این نشان می‌دهد که برای در نظر گرفتن عدم قطعیت در سیستم باید هزینه‌ی متحمل شویم تا مانع ایجاد ریسک‌هایی شویم که ممکن است در اثر این پارامترهای ناشناخته در مدل به وجود آید. در شکل ۱ این روند افزایش هزینه نشان داده شده است. از آنجا که تعیین تعداد تسهیلات مکان

جدول ۱. اندازه‌ی مسائل مورد آزمایش.

نوع	عداد روگاهی زبانی	عداد مشتریان محدود	عداد مرکز بازیافت	عداد مرکز ایمه	عداد مرکز جمع‌واری	عداد مشتریان	عداد مرکز توزیع	عداد مرکز کارخانه‌ها	تعداد مدل
۲	۲	۱	۲	۲	۶	۳	۲	۱	
۲	۲	۲	۳	۳	۶	۵	۲	۲	

جدول ۲. مقدار تابع هدف برای مقادیر مختلف α'' برای مدل اندازه ۱.

مدل	برش α''	مقدار هدف
	۰,۹	۴۳۱۱۳۲۰
	۰,۸	۴۳۱۰۴۵۰
	۰,۷	۴۳۰۸۲۴۶
	۰,۶	۴۳۰۸۴۴۶
	۰,۵	۴۳۰۷۵۰۵
	۰,۴	۴۳۰۷۵۰۱
	۰,۳	۴۳۰۶۳۵۲

جدول ۴. تخصیص مراکز برای مدل فازی با اندازه ۱ و ۵ = α'' .

تخصیص	نوع
مراکز توزیع j به مشتری k به مرکز جمع‌آوری m	(j, k, m)
مراکز توزیع j به مشتری k به مرکز تولید i (i, j, k)	(m, j, i)
تخصیصات (۱۱)، (۱۲)، (۱۳)، (۱۴)، (۱۵)، (۲۰)، (۲۱)، (۲۲)، (۲۳)	(۱)، (۲)، (۳)، (۶)، (۷)، (۸)، (۹)

جدول ۵. سطح بهینه سفارش مجدد، سطح ذخیره احتیاطی، مقدار سفارش بهینه در هر مرکز توزیع برای مدل فازی با اندازه ۱ و ۵ = α'' .

مقدار سفارش بهینه	سطح ذخیره احتیاطی		سطح بهینه سفارش مجدد		دوره زمانی	
	۱	۲	۱	۲	۱	۲
۸۶	۰	۲۰۷	۱۱	۰	۲۲	۱۷۳۶
۹۱	۰	۱۱۷	۱۲	۰	۲۱	۱۷۵۳

فازی در نظر گرفته شد. سپس با استفاده از روش خیمینز مدل را قطعی کرده و سطح α'' برای مسئله با دو اندازه مختلف بررسی شد. نتایج حاصله نشان داد که هرچه برش α'' افزایش یابد هزینه بیشتری برای جلوگیری از ریسک‌های ناشی از این برش‌ها متحمل می‌شود.

۸. نتیجه‌گیری

در این نوشتار مدل سازی ریاضی زنجیره‌ی تأمین حلقة‌بسته در شرایط عدم قطعیت تقاضا و با استفاده از استراتژی ریسک اشتراکی بررسی شد. از آنجا که در دنیا واقعی به دلیل کمبود اطلاعات بیشتر پارامترهای مدل طراحی شده غیر قطعی اند، سایر پارامترهای مدل را نیز به صورت فازی در نظر گرفته و از رویکرد خیمینز برای غیرفازی کردن مسئله استفاده کردند. سرانجام مدل نهایی برای دو اندازه‌ی متفاوت مسئله اجرا شد و نتایج نشان داد که با بالا بردن برش α'' هزینه‌های کل سیستم افزایش می‌یابد. همچنین نتایج ارائه شده نشان داد که مدل ارائه شده سطح بهینه سفارش مجدد، سطح ذخیره احتیاطی و مقدار سفارش بهینه را نیز نشان می‌دهد.

جدول ۶. مقدار تابع هدف برای مقادیر مختلف α'' برای مدل اندازه ۲.

برش	مقدار هدف
۰,۹	۴۴۳۵۹۳۸
۰,۸	۴۴۳۱۸۹۷
۰,۷	۴۴۳۰۷۵۱
۰,۶	۴۴۲۸۲۴۲
۰,۵	۴۴۲۷۳۰۶
۰,۴	۴۴۲۶۷۱۱
۰,۳	۴۴۲۶۵۰۱
۰,۲	۴۴۲۵۴۳۱

اندازه‌های ۱ و ۲ مقایسه می‌کند. چنان که مشاهده می‌شود با افزایش اندازه‌های مدل مقدار تابع هدف کل افزایش داشته است و این به دلیل افزایش هزینه‌ها (نظیر هزینه‌های بازکردن تسهیلات و هزینه‌های حمل و نقل...) منطقی است. در این بخش عدم قطعیت موجود در پارامترهای مدل به صورت برنامه‌ریزی

پانوشت‌ها

1. collection
2. gate keeping or selection
3. sorting
4. disposition
5. mixed-integer programming

منابع (References)

1. Jones, T. and Riley, D.W. "Using inventory for competitive advantage through supply chain management", *The international Journal of Physical Distribution and Materials Management*, **15**, pp. 16-26 (1985).
2. Rogers, D.S. and Tibben-Lembke, R.S. "Going backwards: Reverse logistics trends and practices", Reverse Logistics Executive Council, Pittsburgh, PA. (1999).
3. Pishvaee, M.S., Rabbani, M. and Torabi, S.A. "A robust optimization approach to closed-loop supply chain network design under uncertainty", *Applied Mathematical Modeling*, **35**, pp. 637-649 (2010).
4. Gaur, S. and Ravindran, A.R. "A bi-criteria model for the inventory aggregation problem under risk pooling", *Computers & Industrial Engineering*, **51**(3), pp. 482-501 (2006).
5. Liu, K., Zhou, Y. and Zhang, Z. "Capacitated location model with online demand pooling in a multi-channel supply chain", *European Journal of Operational Research*, **207**, pp. 218-231 (2010).
6. You, F. and Grossmann, I.E. "MINLP model and algorithms for optimal design of large-scale supply chain with multi-echelon inventory and risk pooling under demand uncertainty", 10th International Symposium on Process Systems Engineering - PSE. Elsevier B.V (2009).

7. Weng, Z.K. "Risk-pooling over demand uncertainty in the presence of product modularity", *International Journal of Production Economics*, **62**, pp. 75-85 (1999).
8. Pasternack, B. and Drezner, Z. "Optimal inventory policies for substitutable commodities with stochastic demand", *Naval Research Logistics*, **38**, pp. 221-240 (1991).
9. Lai, Y.J. and Hwang, C.L. "Fuzzy mathematical programming: Methods and applications", *Lecture Notes in Economics and Mathematical Systems*, **394**, Springer, Berlin (1992).
10. Chen, S.P. and Chang, P.C. "A mathematical programming approach to supply chain models with fuzzy parameters", *Engineering Optimization*, **38**, pp. 647-669 (2006).
11. Torabi, S.A. and Hassini, E. "An interactive possibilistic programming approach for multiple objective supply chain master planning", *Fuzzy Sets and Systems*, **159**(2), pp. 193-214 (2008).
12. Liang, T.F. "Integrating production-transportation planning decision with fuzzy multiple goals in supply chains", *International Journal of Production Research*, **46**, pp. 1477-1494 (2008).
13. Peidro, D., Mula, J., Poler, R. and Verdegay, J.-L. "Fuzzy optimization for supply chain planning under supply, demand, and process uncertainties". *Fuzzy Sets and Systems*, **160**, pp. 2640-2657 (2009).
14. Sakawa, M., Nishizaki, I. and Uemura, Y. "Fuzzy programming and profit and cost allocation for a production and transportation problem", *European Journal of Operational Research*, **131**, pp. 1-15 (2001).
15. Petrovic, D., Roy, R. and Petrovic, R. "Supply chain modeling using fuzzy sets", *International Journal of Production Economics*, **59**(1-3), pp. 443-453 (1999).
16. Pishvaee, M.S. and Torabi, S.A. "A possibilistic programming approach for closed-loop supply chain network design under uncertainty", *Fuzzy Sets and Systems*, **161**, pp. 2668-2683 (2010).
17. Park, S., Lee, T.-E. and Sung, C.S. "A three-level supply chain network design model with risk-pooling and lead times", *Transportation Research - Part E: Logistics and Transportation Review*, **46**(5), pp. 563-581 (2010).
18. Jimenez, M., Arenas, M., Bilbao, A. and Rodriguez, M.V. "Linear programming with fuzzy parameters: An interactive method resolution", *European Journal of Operational Research*, **177**, pp. 1599-1609 (2007).
19. Jimenez, M. "Ranking fuzzy numbers through the comparison of its expected intervals", *International Journal of Uncertainty, Fuzziness and Knowledge Based Systems*, **4**(4), pp. 379-388 (1996).
20. Parra, M.A., Terol, A.B., Gladish, B.P. and Rodriguez Uria, M.V. "Solving a multiobjective possibilistic problem through compromise programming", *European Journal of Operational Research*, **164**, pp. 748-759 (2005).
21. Lai, Y.J. and Hwang, C.L. "A new approach to some possibilistic linear programming problems", *Fuzzy Sets and Systems*, **49**, pp. 121-133 (1992).